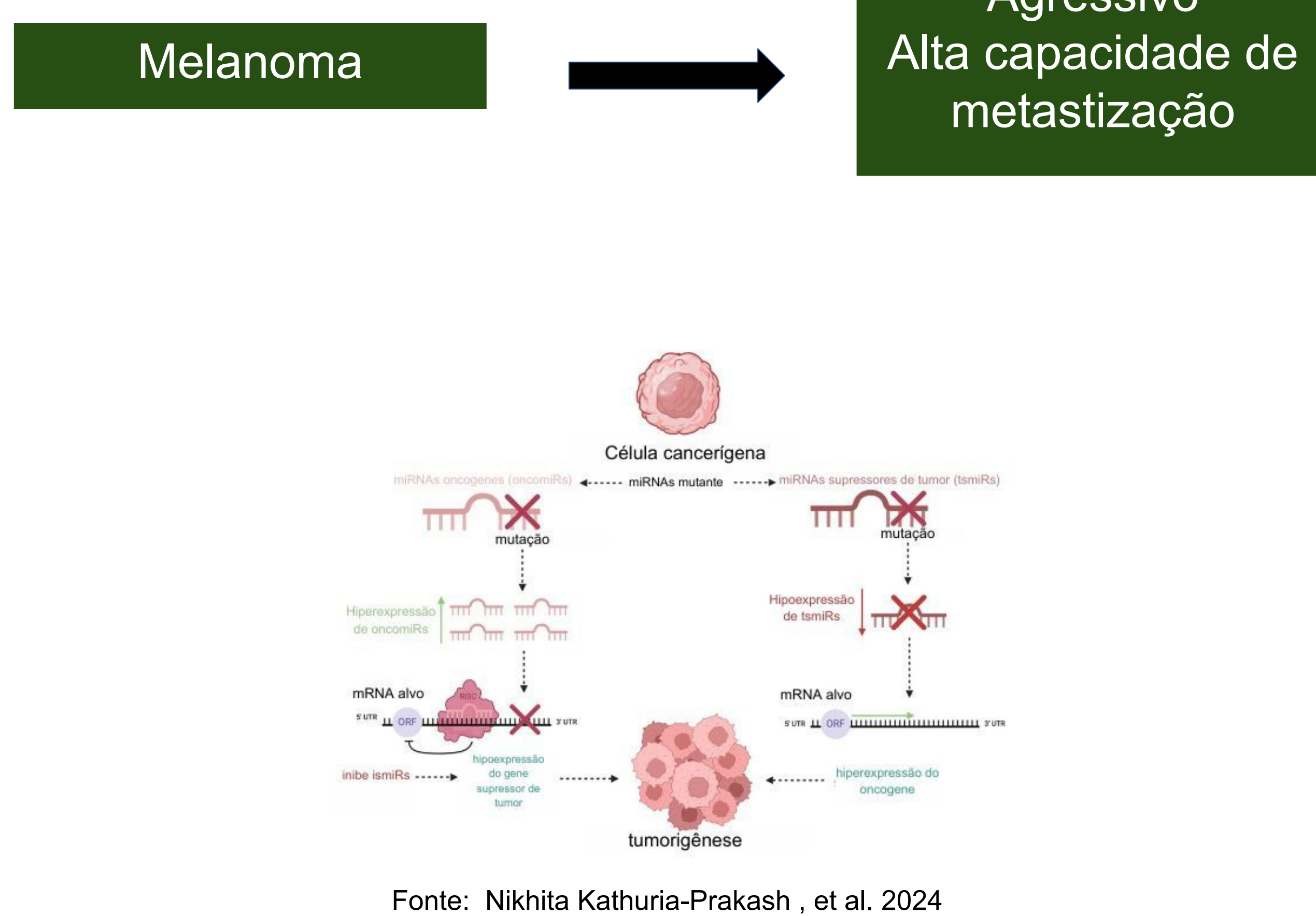


# Transcriptômica no Câncer de Pele: Perspectivas Terapêuticas para o Tratamento do Melanoma com Agomirs e Antagomirs

Gabriela Batista Batistela, Pedro Henrique Berbel Zanin, Dra. Clarissa Scolastici Basso

## Introdução



Fonte: Nikhita Kathuria-Prakash , et al. 2024

MIRNAs	Genes Alvos	Processos celulares
hsa-mir-143	COX-2	Proliferação celular
hsa-mir-200b	SMAD2	Regulação do citoesqueleto, adesão celular e motilidade
hsa-mir-205	E2F1 VEGF BCL-2	Crescimento celular e a resistência à apoptose
hsa-mir-210	TNF-alfa	Estimula a apoptose e bloqueia a proliferação e o crescimento celular de células neoplásicas
hsa-mir-429	AKT1	Estimula a apoptose e bloqueia a proliferação e o crescimento celular de células neoplásicas
hsa-mir-573	MCAM	Adesão celular
hsa-mir-22	BCL-2	Regulação da apoptose

## Problema

A análise transcriptômica pode auxiliar na identificação de Agomirs e Antagomirs eficazes para o tratamento de melanoma?

## Objetivo

O objetivo do presente estudo é por meio da análise transcriptômica identificar microRNAs diferencialmente expressos em melanoma que possam atuar como potenciais agentes terapêuticos, direcionando estratégias para a regulação de genes envolvidos na progressão desses tipos de câncer.

## Metodologia

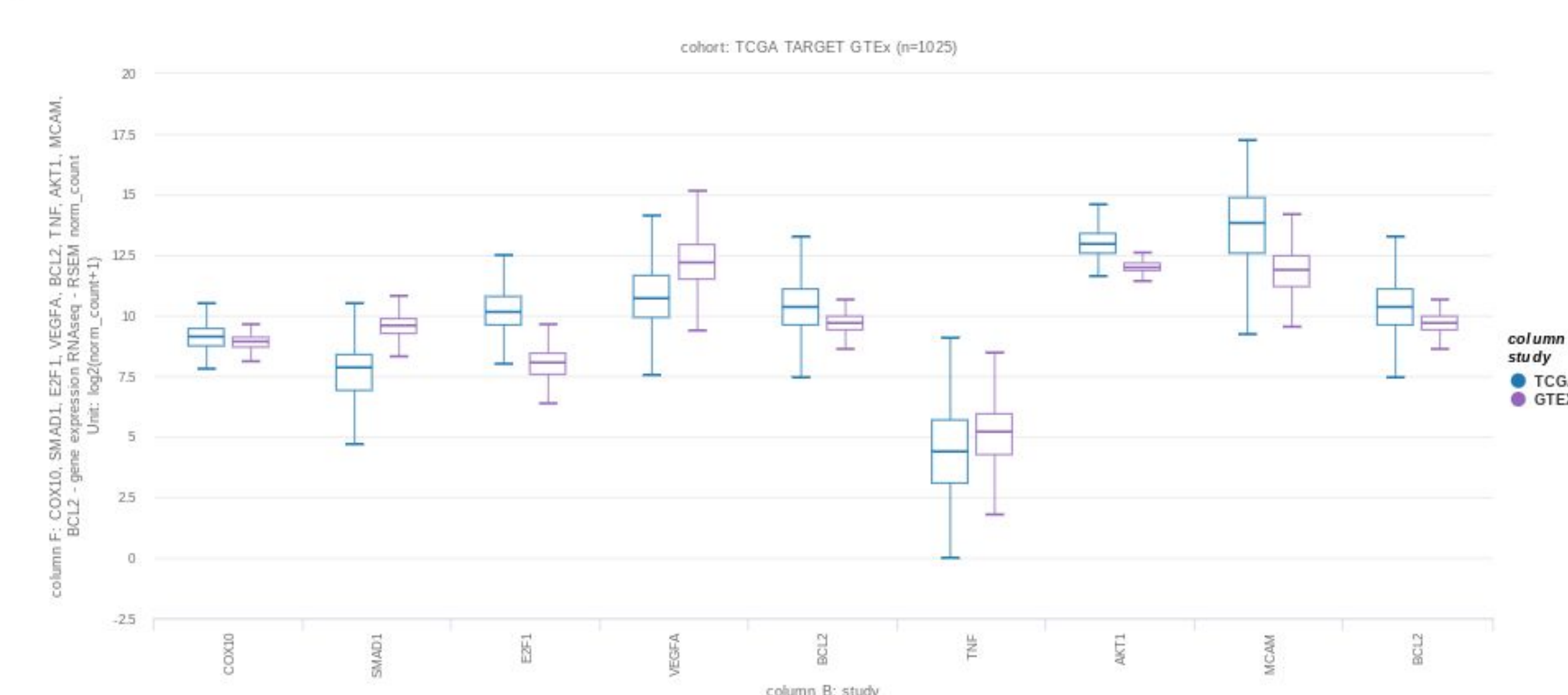
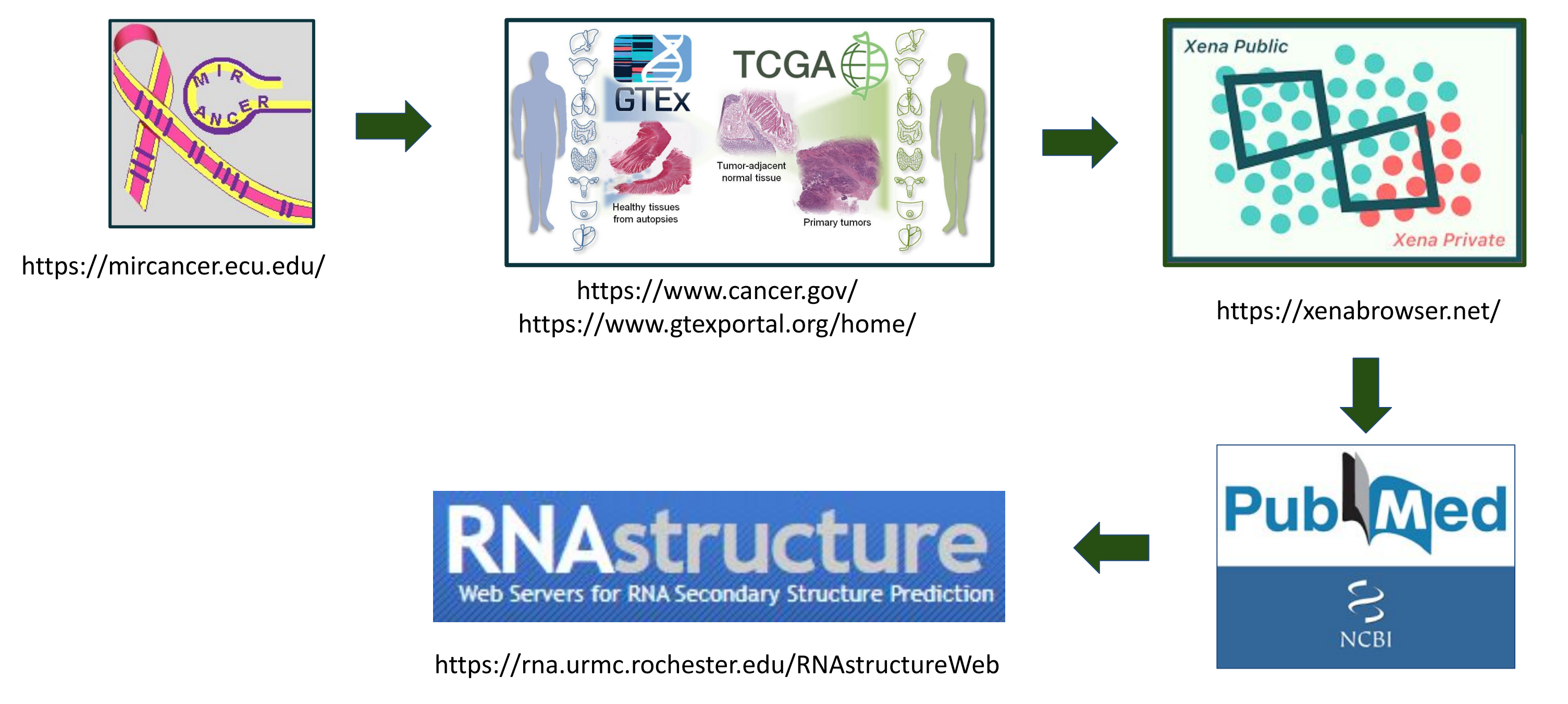


Figura 2: Análise de expressão de genes alvos de microRNAs de tecidos de pele em comparação com melanoma. Welch's t-test: COX10 p = 2.509e-14 ( $t = 7.773$ ); SMAD1 p = 4.317e-129 ( $t = -31.87$ ); E2F1 p = 0.000 ( $t = 44.22$ ); VEGFA p = 8.314e-61 ( $t = -17.85$ ); BCL2 p = 0.000 ( $t = 11.43$ ); TNF p = 5.036e-12 ( $t = -6.997$ ); AKT1 p = 0.000 ( $t = 32.20$ ); MCAM p = 0.000 ( $t = 21.12$ ); BCL2 p = 0.000 ( $t = 11.43$ )

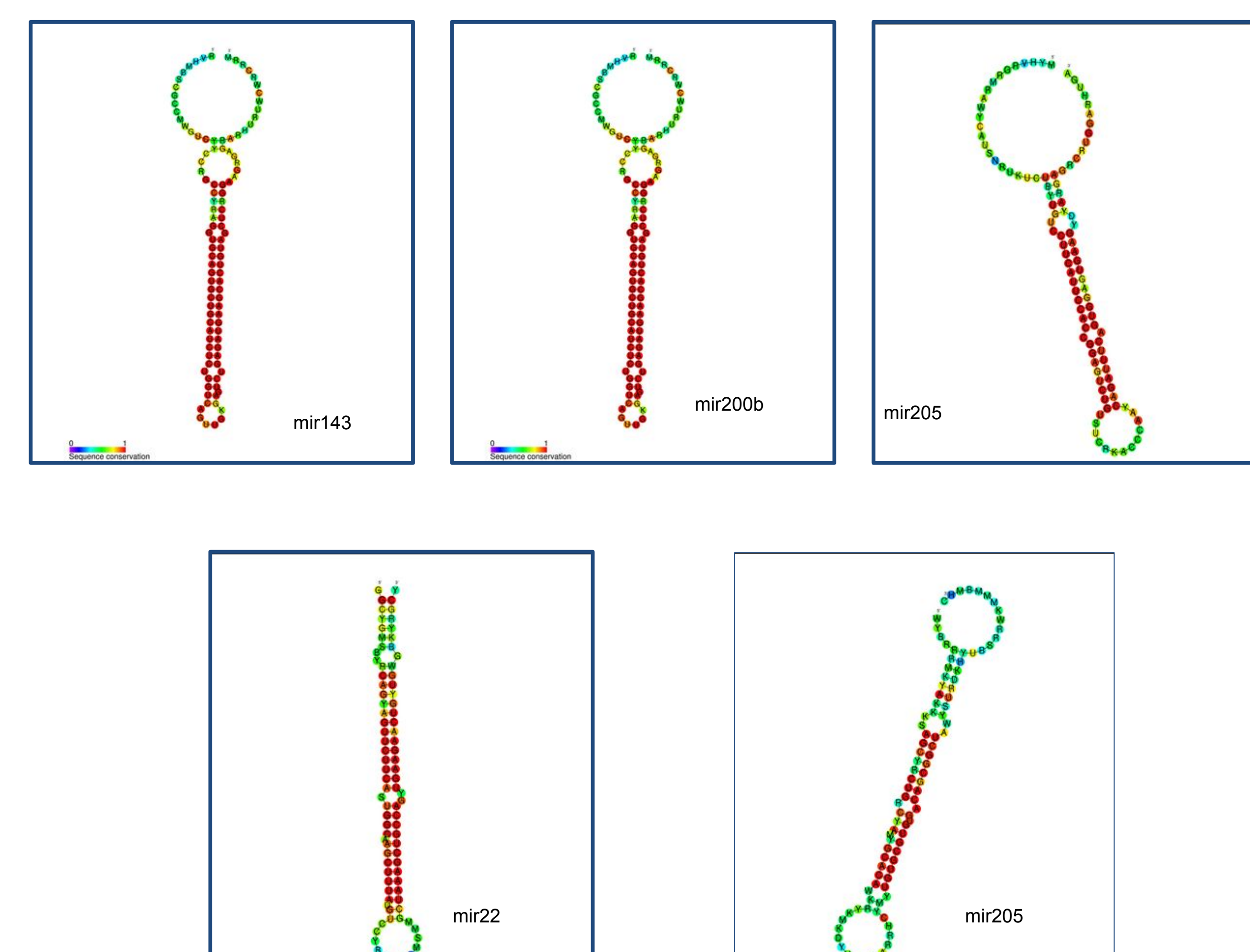


Figura 3: Sequência e estrutura dos microRNAs. Fonte: <https://www.ebi.ac.uk/pdbe>

## Resultados

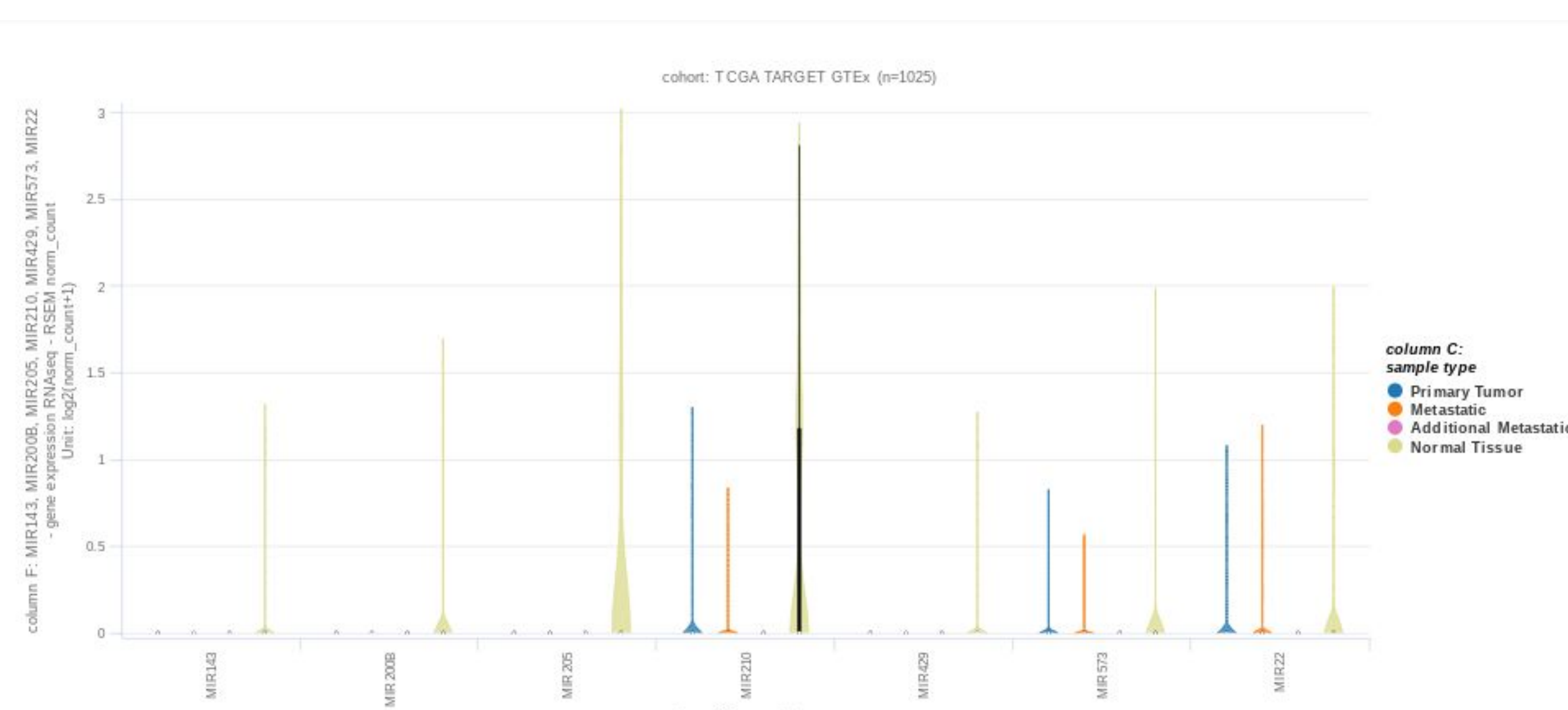


Figura 1: Análise de expressão de microRNA de tecidos de pele em comparação com melanoma. Fonte: <https://xenabrowser.net/> Welch's t-test: MIR143 p = 0.01471 ( $t = -2.447$ ), MIR200b p = 0.00006828 ( $t = -4.013$ ), MIR205 p = 3.060e-22 ( $t = -10.13$ ), MIR210 p = 5.525e-44 ( $t = -15.17$ ), MIR429 p = 0.08343 ( $t = -1.734$ ), MIR573 p = 0.0001155 ( $t = -3.880$ ), MIR22 p = 0.00003320 ( $t = -4.175$ )

## Conclusão

Nosso estudo revelou que a maioria dos microRNAs com expressão alterada atua como genes supressores de tumores. Assim, a restauração de suas funções por meio de terapias com agomirs surge como uma estratégia promissora para auxiliar no tratamento dessa doença desafiadora.

- ## Referências
- Woo D, Rieger A. Targeted therapy for melanoma. *Härtelges D, Compton D, editors. Compton's Clinical Oncology*. Springer; 2016.
  - Ford MC, Haak SJ. Melanoma cutâneo: novos avanços no tratamento. *Acta Brasileira Dermatol*; 2014.
  - Matthews NH, Li WQ, Orelli AA, Weinstock MA, Che E. Epidemiologia do melanoma. Em: Ward WH, Farina JM, editores. *Melanoma cutâneo: etiologia e terapia*. Codon Publications; Brisbane, AU, Australia: 2014.
  - Curtin JS, Busam K, Pinkel D, Bastian BC. Ativação somática do KIT em subtipos distintos de melanoma. *J Clin Oncol*; 2006.
  - Adler H, Gitter BD, Loeffler M, Nuovo PJ, Moushey III, Sompone G, Hatzis RI, Morris KA, Gitter BD, et al. Alterações do CDKN2A e resposta à imunoterapia em tumores sólidos. *Clin Cancer Res*; 2017.
  - Spanopoulou F, Damasco B, Tanda E, Potirony M, Puig S, van Doorn R, Kaptein E, Quizon P, Heijnen H, Gherardi R. Eficácia da injeção de BRAF e MEK em pacientes com BRAF+ Variantes patogênicas de melanoma avançado mutante e linha germinativa CDKN2A. *Cancere*; 2022.
  - Sohrabi S, Shamsi L, Kim KB, Sosman JA, Aszkenasy PA, Postow MA, De Vis FV, van Herpen CM, Carino MS, Johnson DB, et al. Erase de fase IIb de riociclibol em combinação com brinibimetinib em pacientes com melanoma mutante NRAS. *Clin Cancer Res*; 2022.
  - Ganaway LA, Wilding HD, Rubin MA, Getz G, Berger AJ, Ramaswamy S, Beroukhim R, Miller DA, Grann SR, Du J, et al. Análise genómica integrativa identifica MTIF como um oncogene e sobrevida de linfágio amplificado em melanoma metastático. *Cancer Res*; 2016.
  - Johnson RD, Lovly CM, Liu Y, Prange K, Ayres GS, Zhou M, Ramirez R, Teicher MT, Xu C, McCormick JA, Terry CR, et al. Impacto das mutações NRAS para pacientes com melanoma avançado tratados com terapia imunológica. *Cancer Immunol Res*; 2016.
  - Goto J, Carvalho RD, Dummar D, David A, Bastian BC, Markovic SN, Queirolo P, Arance A, Berkling C, et al. Eficácia e segurança do nilotinibe em pacientes com melanoma metastático ou inoperável com mutação KIT: resultados finais do estudo global de braço único, fase II TEAM. 2017.
  - Rajkumar S, Berry D, Heney KA, Strong C, Ramsay L, Lajejo M, Alkalla R, Nguyen TT, Thomson C, Aharnefer-Adams M, et al. Melanomas com mutações simultâneas de perda de função BRAF não-p.V600 e NF1 são alvos da terapia combinada de BRAF e MEK. *Cancer Res*; 2017.
  - Nissan MH, Prillas CA, Jones AM, Ramirez R, Won H, Liu C, Malu S, Creasy C, Terrell MT, Xu C, McCormick JA, Yee Z, et al. Perda de PTEN em melanoma está associada à progressão de RAS e dependência de MEK. *Cancer Res*; 2014.
  - Peng W, Chen JQ, Liu C, Malu S, Creasy C, Terrell MT, Xu C, McCormick JA, Yee Z, et al. Perda de PTEN é resistente à terapia imunoterápica. *Cancer Discov*; 2014.
  - Gupta S, Chaturvedi A, Zhou M, Ramirez R, Teicher MT, Xu C, McCormick JA, Yee Z, et al. Melanoma com mutação BRAF não-p.V600 e NF1 é resistente à terapia imunoterápica. *Cancer Discov*; 2014.
  - Wu J, Ji J, et al. Biological functions and potential mechanisms of miR-143-3p in cancer. *Oncology Reports*; v. 52, n. 3, p. 1-13, 2020.
  - Panzica E, Elizabeth et al. MicroRNA-143-3p inhibits growth and invasiveness of melanoma cells by targeting cyclooxygenase-2 and inversely correlates with NEAT1/miR-200-3p/SMA2 axis promotes progression of melanoma. *Oncology Reports*; v. 52, n. 4, p. 538-547, 2020.
  - Moore KN, et al. NEAT1/miR-200-3p/SMA2 axis promotes progression of melanoma. *Experimental & molecular medicine*; v. 52, n. 4, p. 538-547, 2020.
  - Zhou J, Wang J, Zhang J, Dai HY, Yao ZX, Zheng Z, Meng Yan S, Wu K, et al. miRNA-200-3p/SMA2 axis promotes progression of melanoma. *Aging (Albany NY)*; v. 12, n. 22, p. 22759, 2020.
  - Zhou J, Wang J, Zhang J, Dai HY, Yao ZX, Zheng Z, Meng Yan S, Wu K, et al. miRNA-200-3p/SMA2 axis promotes progression of melanoma. *Aging (Albany NY)*; v. 12, n. 22, p. 22759-227775, doi: 10.1863/aging.103909. Epub 2020 Nov 16.
  - RNAcentral. <https://rnacentral.org/>
  - Noguchi S, Shirasaka S, et al. Chemically synthetic microRNA-205 inhibits the growth of melanoma cells in vitro and in vivo. *Molecular Therapy*; v. 21, n. 6, p. 1204-1211, 2013.
  - Loucas A, Christoforidis A, et al. miRNAs as key players in the management of cutaneous melanoma. *Cancer Cell*; v. 9, n. 2, p. 415, 2006.
  - Huang D, Deng J, et al. MicroRNA-222 inhibits proliferation and migration by targeting the PI3K/Akt/mTOR signaling pathway. *Cancer Biomarkers*; v. 26, n. 1, p. 63-68, 2019.
  - Wang H, He Fei E, Li J, Zhou M, et al. miRNA-573 regulates melanoma progression by targeting the melanoma adhesion molecule. *Oncology reports*; v. 30, n. 1, p. 520-526, 2013.
  - Menon A, Abd Aziz N, Khalid M, Poh CL, Nasar R, miRNA-A Promising Therapeutic Target in Cancer. *Int J Mol Sci*; 2022 Sep 26(19):15020.
  - Poniewierska-Baran A, Sułczewski-Ciążkowska S, Małkowska P, Ślęzakiewicz E, Pawlik A. Role of miRNA in Melanoma Development and Progression. *Int J Mol Sci*; 2022 Dec 22(1):201.